

# Computer-Graphik I

## Transformationen

$$\begin{bmatrix} \cos 90^\circ & \sin 90^\circ \\ -\sin 90^\circ & \cos 90^\circ \end{bmatrix} \begin{bmatrix} a_1 \\ a_2 \end{bmatrix} = \begin{bmatrix} 0 & 0 \\ 1 & 0 \end{bmatrix}$$

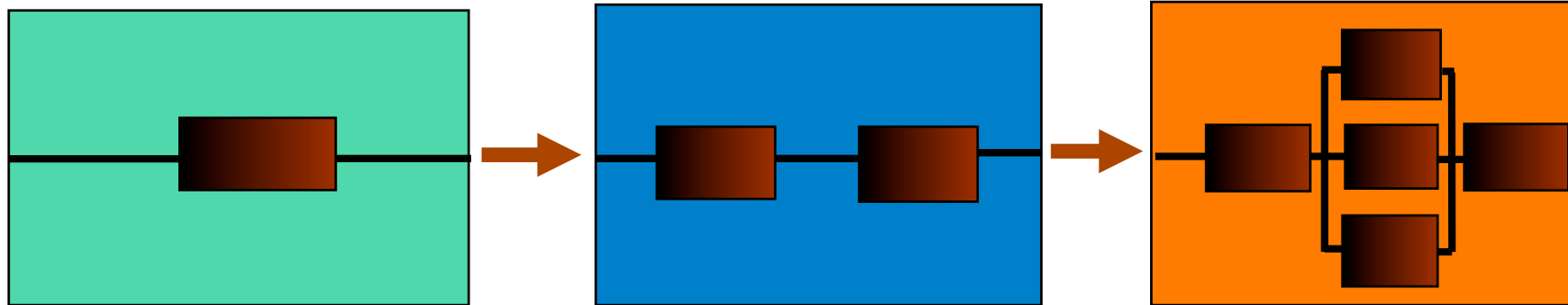
G. Zachmann

University of Bremen, Germany

[cgvr.informatik.uni-bremen.de](http://cgvr.informatik.uni-bremen.de)

- **Transformationen** werden benötigt, um ...
  - Objekte, Beleuchtung und Kamera zu positionieren und animieren;
  - alle Berechnungen im selben Koordinatensystem durchzuführen;
  - Objekte zu projizieren.
- Teilaspekt: **Viewing-Transformation** = welche Transformationen muß man verwenden, um die 3D-Welt auf den 2D-Bildschirm zu projizieren
- OpenGL verwendet 4x4-Matrizen zur Spezifikation von Transformationen (warum?)

# Die Graphik-Pipeline (stark vereinfacht)



Anwendung

Geometrie-Stufe

Raster-Stufe

Im folgenden  
diese Tasks

Alle Berechnungen, die 1x pro Polygon oder pro Vertex (Ecke) durchgeführt werden

Z.B.:

- Modell- und Viewing-Transformation
  - Projektion
  - Beleuchtung
  - Clipping
- Arbeitet im 3D

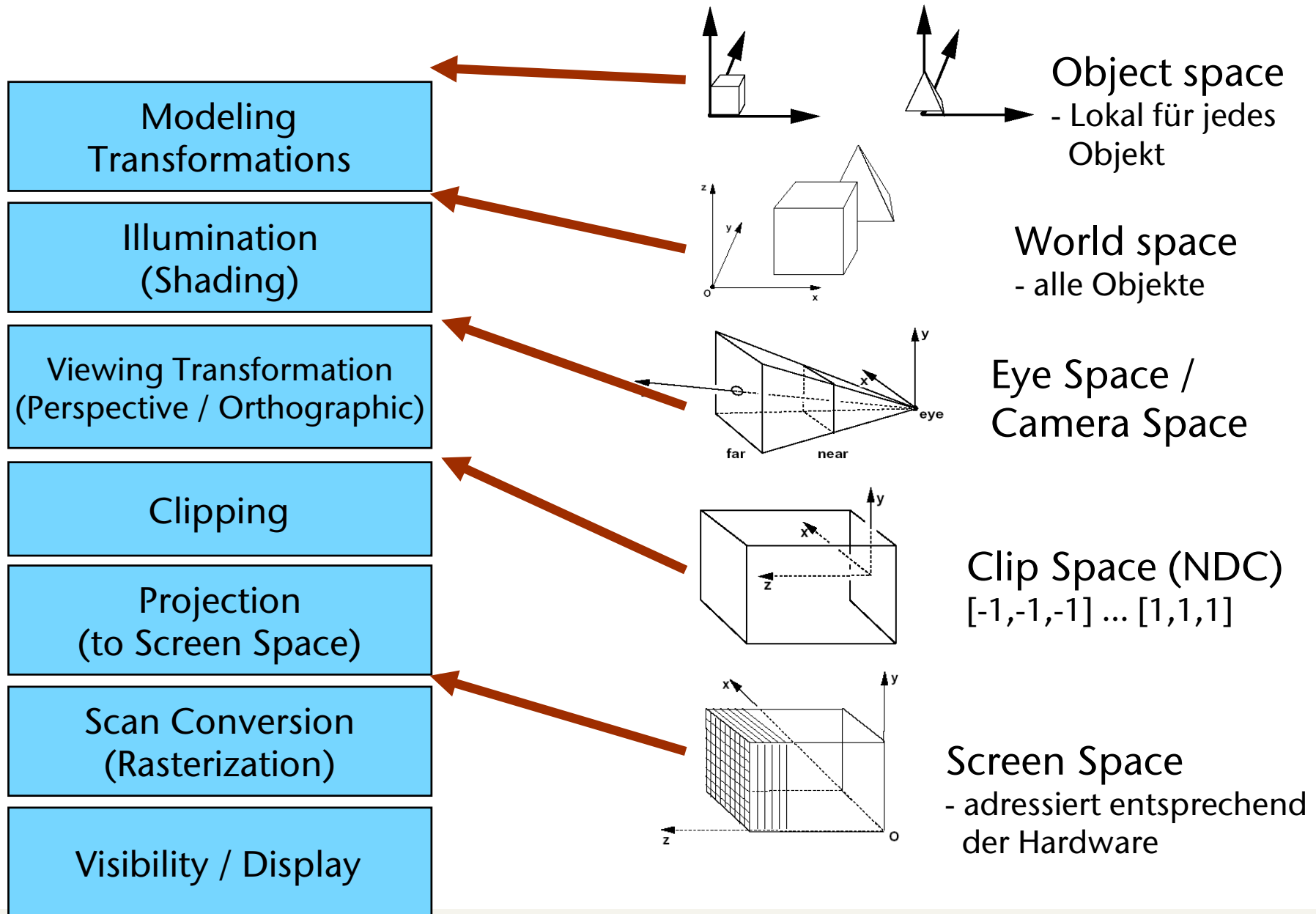
Kennen wir (teilweise) schon

Z.B.:

- Scan Conversion
- Arbeitet im 2D

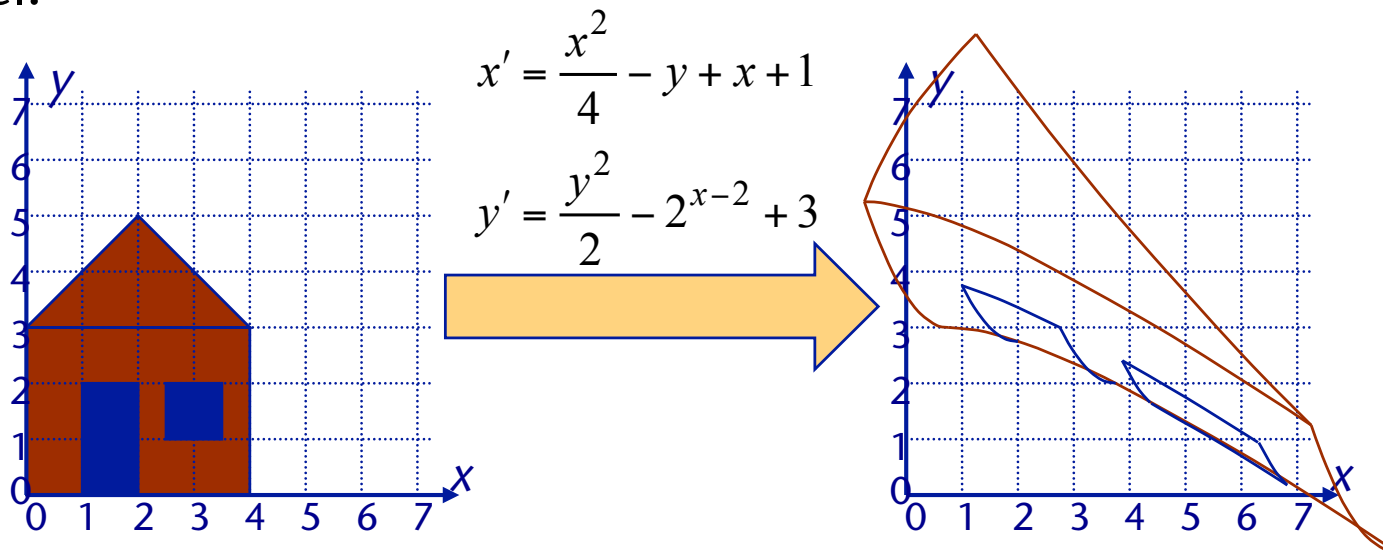


# Koordinatensysteme in der Pipeline



# Allgemeine Transformationen

- Allgemeine Transformation ist evtl. nicht linear → Geraden werden i.A. nicht wieder auf Geraden abgebildet
- Beispiel:



- Folge: jeder Punkt (auf einer Linie, in einem Polygon, ...) muss transformiert werden → nicht effizient, nicht interessant für Echtzeit-Graphik

- Rotation
- Skalierung
- Scherung (kommt in der Praxis fast nie vor)
- Translation
  
- Verkettung (*concatenation*)
- Starrkörpertransformation (*rigid body transformation*)

- Rotation um x-, y-, z-Achse um Winkel  $\phi$

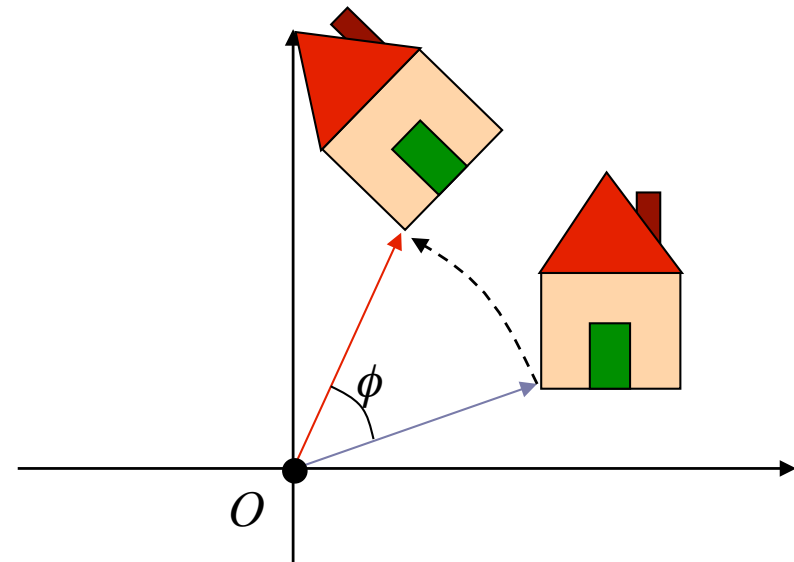
$$R_x(\phi) = \begin{pmatrix} 1 & 0 & 0 \\ 0 & \cos \phi & \sin \phi \\ 0 & -\sin \phi & \cos \phi \end{pmatrix}$$

X-Koord. bleibt unverändert

Vorzeichenstest:  $\phi=90 \rightarrow$   
y geht nach z, z geht nach -y.

$$R_y(\phi) = \begin{pmatrix} \cos \phi & 0 & \sin \phi \\ 0 & 1 & 0 \\ -\sin \phi & 0 & \cos \phi \end{pmatrix}$$

$$R_z(\phi) = \begin{pmatrix} \cos \phi & -\sin \phi & 0 \\ \sin \phi & \cos \phi & 0 \\ 0 & 0 & 1 \end{pmatrix}$$



- Definition (Wdhg aus Mathe): eine Matrix  $R$  heißt **orthogonal**  $\Leftrightarrow$

$$RR^T = R^T R = I$$

- Folgen:

$$\det(R) = \pm 1$$

$$R^{-1} = R^T$$

$R^T$  ist orthogonal

$$\|Rv\| = \|v\| \quad (\text{Längenerhaltung})$$

$$(Ru) \cdot (Rv) = u \cdot v \quad (\text{Winkelerhaltung})$$

$R_1, R_2$  sind orthogonal  $\Rightarrow R_1 R_2$  ist orthogonal

Die Spalten von  $R$  sind zueinander **orthonormal** (nicht nur orthogonal!)



## Charakterisierung von (reinen) Rotationsmatrizen

- $R$  ist orthogonal  $\Leftrightarrow R$  ist Rotationsmatrix und/oder Spiegelung
- $R$  ist eine **ordentliche Rotation**  $\Leftrightarrow$

$$RR^T = I \wedge \det(R) = +1$$

- Kann zum Vergrößern oder Verkleinern verwendet werden:

$$S(s_x, s_y, s_z) = \begin{pmatrix} s_x & 0 & 0 \\ 0 & s_y & 0 \\ 0 & 0 & s_z \end{pmatrix}$$

- $s_x, s_y, s_z$  beschreiben Längenänderung in x-, y-, z-Richtung  
→ nicht-uniforme (anisotrope) Skalierung
- Uniforme (isotrope) Skalierung:  $s_x = s_y = s_z$
- Inverse:

$$S^{-1}(s_x, s_y, s_z) = S\left(\frac{1}{s_x}, \frac{1}{s_y}, \frac{1}{s_z}\right)$$

- Ein alternative Skalierungs-Matrix:

$$S(s, s, s) = \begin{pmatrix} s & 0 & 0 & 0 \\ 0 & s & 0 & 0 \\ 0 & 0 & s & 0 \\ 0 & 0 & 0 & 1 \end{pmatrix} \cong \begin{pmatrix} 1 & 0 & 0 & 0 \\ 0 & 1 & 0 & 0 \\ 0 & 0 & 1 & 0 \\ 0 & 0 & 0 & \frac{1}{s} \end{pmatrix}$$

- Aber besser die "normale" Skalierungsmatrix verwenden

# Scherung (*Shearing*)

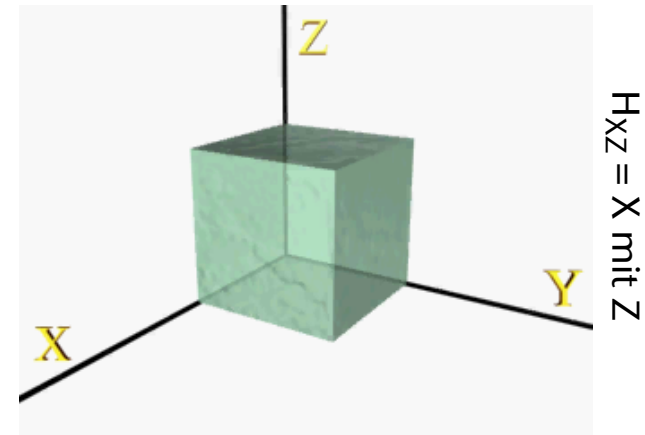
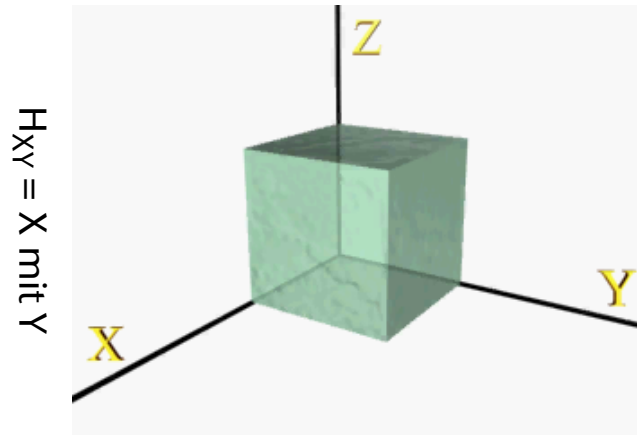
- Verschiebt z.B. die  $x$ -Koordinate abhängig von der Entfernung zur Ebene  $z=0$  (d.h., der  $xy$ -Ebene), also abhängig von der  $z$ -Koord.
- Zum Beispiel:  $H_{xz}(s)$  schert den  $x$ -Wert gemäß dem  $z$ -Wert

$$H_{xz}(s) \cdot \mathbf{p} = \begin{pmatrix} 1 & 0 & s \\ 0 & 1 & 0 \\ 0 & 0 & 1 \end{pmatrix} \cdot \begin{pmatrix} p_x \\ p_y \\ p_z \end{pmatrix} = \begin{pmatrix} p_x + sp_z \\ p_y \\ p_z \end{pmatrix}$$

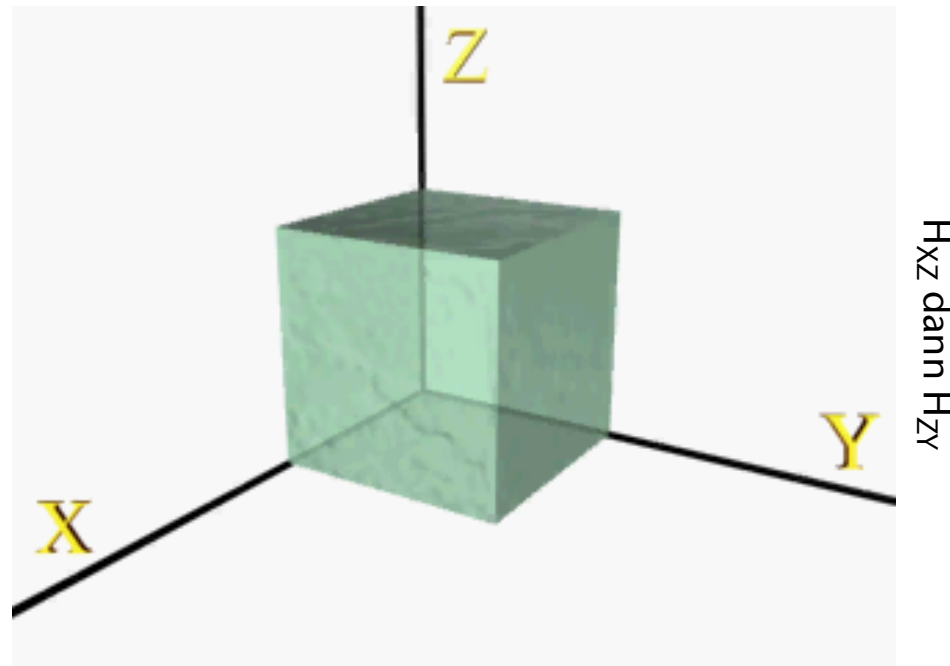
- Inverse:

$$H_{xz}^{-1}(s) = H_{xz}(-s)$$

- Achtung: Determinante = 1  $\rightarrow$  Volumen bleibt erhalten
  - Aber Winkel werden hier nicht erhalten!



$$H_{xz}(s) = \begin{pmatrix} 1 & 0 & s & 0 \\ 0 & 1 & 0 & 0 \\ 0 & 0 & 1 & 0 \\ 0 & 0 & 0 & 1 \end{pmatrix}$$



- Spiegelung entlang der x-Achse, m.a.W., Spiegelung bzgl. der yz-Ebene:

$$M_x = \begin{pmatrix} -1 & 0 & 0 \\ 0 & 1 & 0 \\ 0 & 0 & 1 \end{pmatrix}$$

- Analog die anderen beiden Spiegelungen
- 
- Achtung:
- Bei allen anderen Transformationen  $T$  bisher war

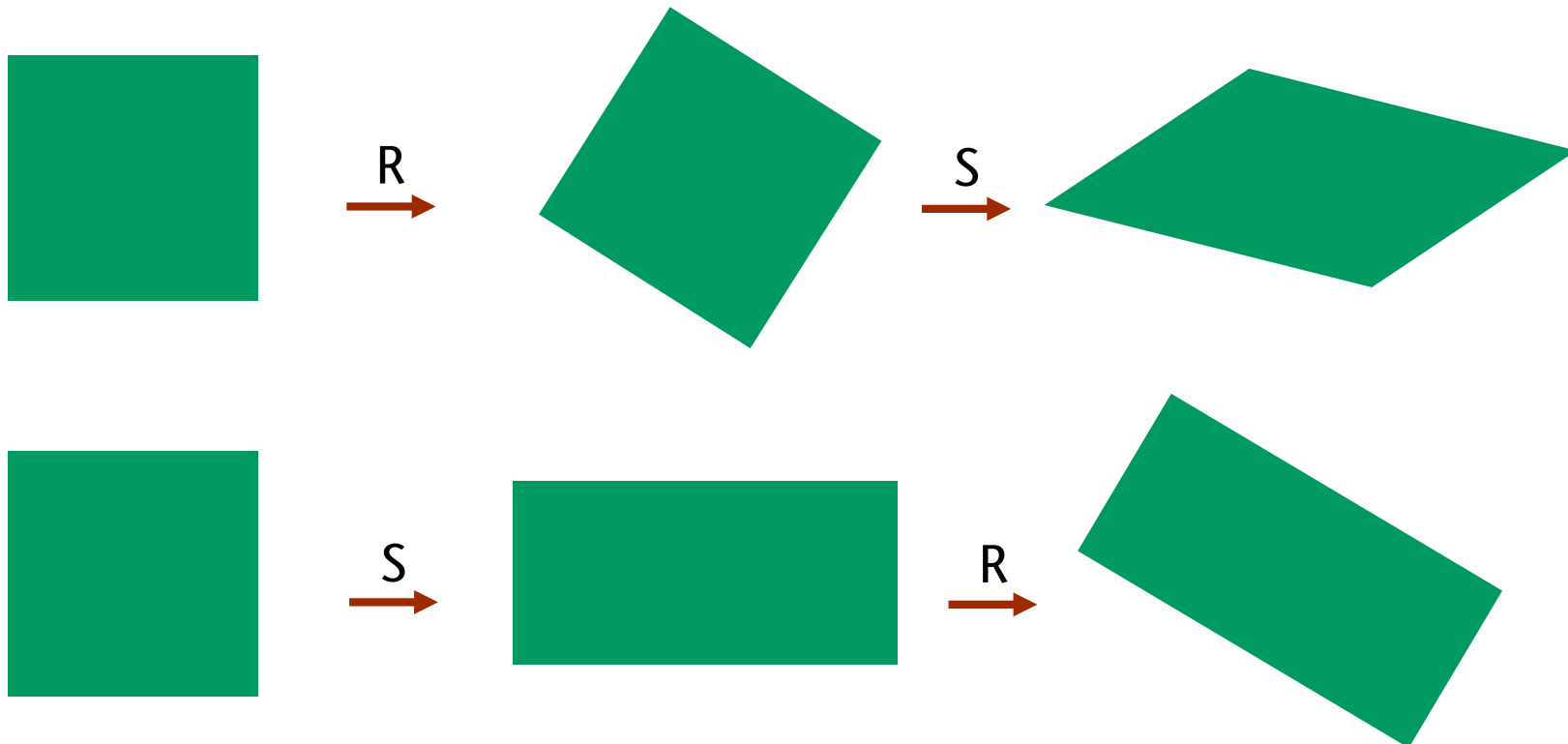
$$\det(M_x) < 0 \quad !$$

$$\det(T) > 0$$

- Spiegelungen sind in der CG eigtl. immer ausgeschlossen
  - U.a., weil der Umlaufsinn der Polygone umgedreht wird

# Verknüpfung / Concatenation

- Nützlich zur Steigerung der Effizienz
- Achtung: Multiplikation von Matrizen ist **nicht kommutativ** → Reihenfolge der Transformation spielt eine Rolle!
- Beispiel:



- Reihenfolge in einer Matrixkette:

$$p' = M_n \cdot \dots \cdot M_2 \cdot M_1 \cdot p$$

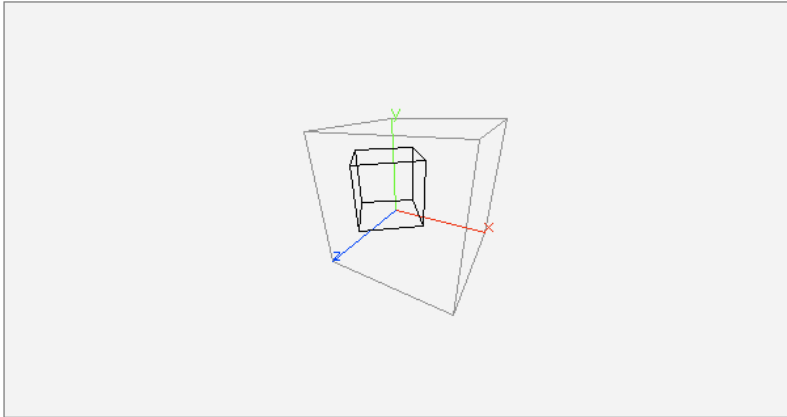


Reihenfolge der Ausführung



Computer-Graphik spielend lernen: Applet

## Affine und Perspektivische Transformation



Matrixtyp: Translation Einheit Transponierte Inverse Det = 1.0

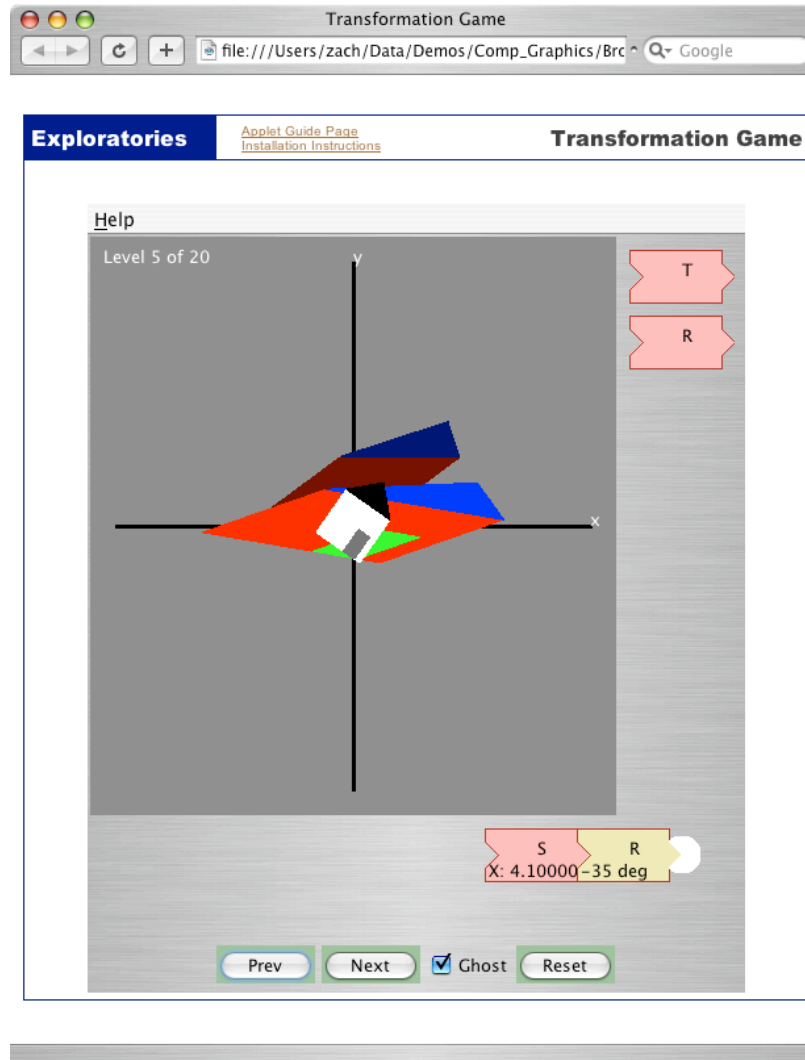
1.0	0.0	0.0	-0.5
0.0	1.0	0.0	0.0
0.0	0.0	1.0	0.0
0.0	0.0	0.0	1.0

Wert: -0.5 -3.0 3.0

Stack: Push Original Ansicht: Original  Perspektive

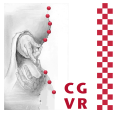
Copyright © 1996/97 University of Tübingen - [WSLGRIS](http://www.gris.uni-tuebingen.de) Author: Frank Hanisch

Quelle: <http://www.gris.uni-tuebingen.de/gris/GDV/java/doc/html/etc/AppletIndex.html>

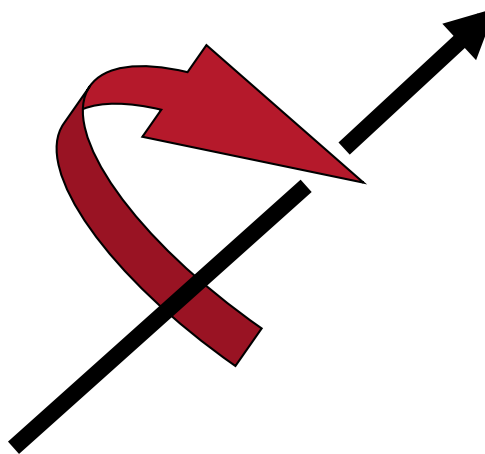


<http://www.cs.brown.edu/exploratories> → *Transformation Game*

# Wieviele Freiheitsgrade haben allg. Rotationen?



- Antwort: 3 DOFs (*degrees of freedom*)
  - 2 DOFs für die Achse + 1 DOF für den Winkel; oder
  - 3 Euler-Winkel

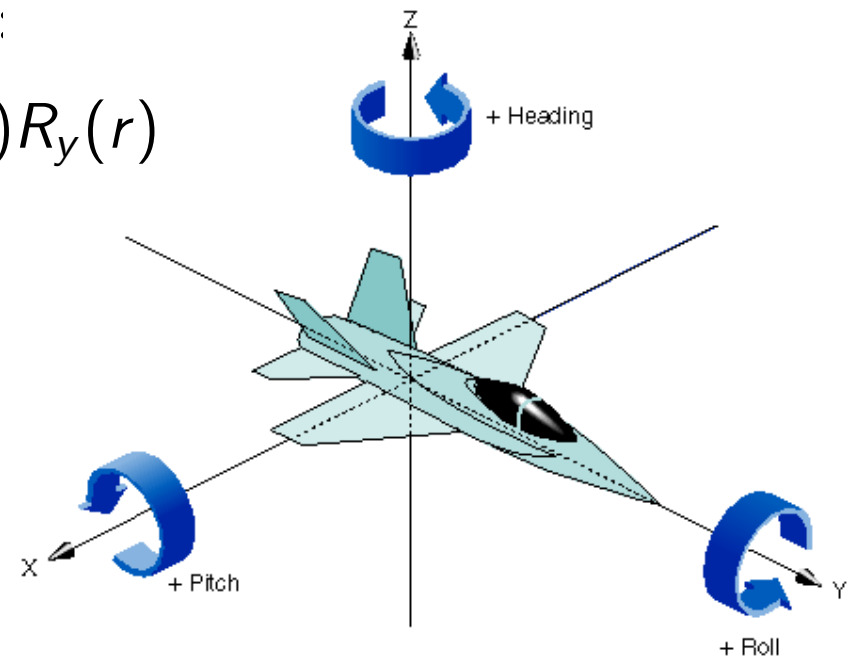


# Die Euler-Winkel

- Euler's Rotations-Satz:  
*Jede Rotation kann mit Hilfe 3-er Winkel um (fast) beliebige Achsen zusammengesetzt werden.*
- Diese Winkel heißen **Euler-Winkel** und bezeichnen meistens Rotationen um eine der drei Welt-Koordinaten-Achsen
- Häufige Variante im Maschinenbau:

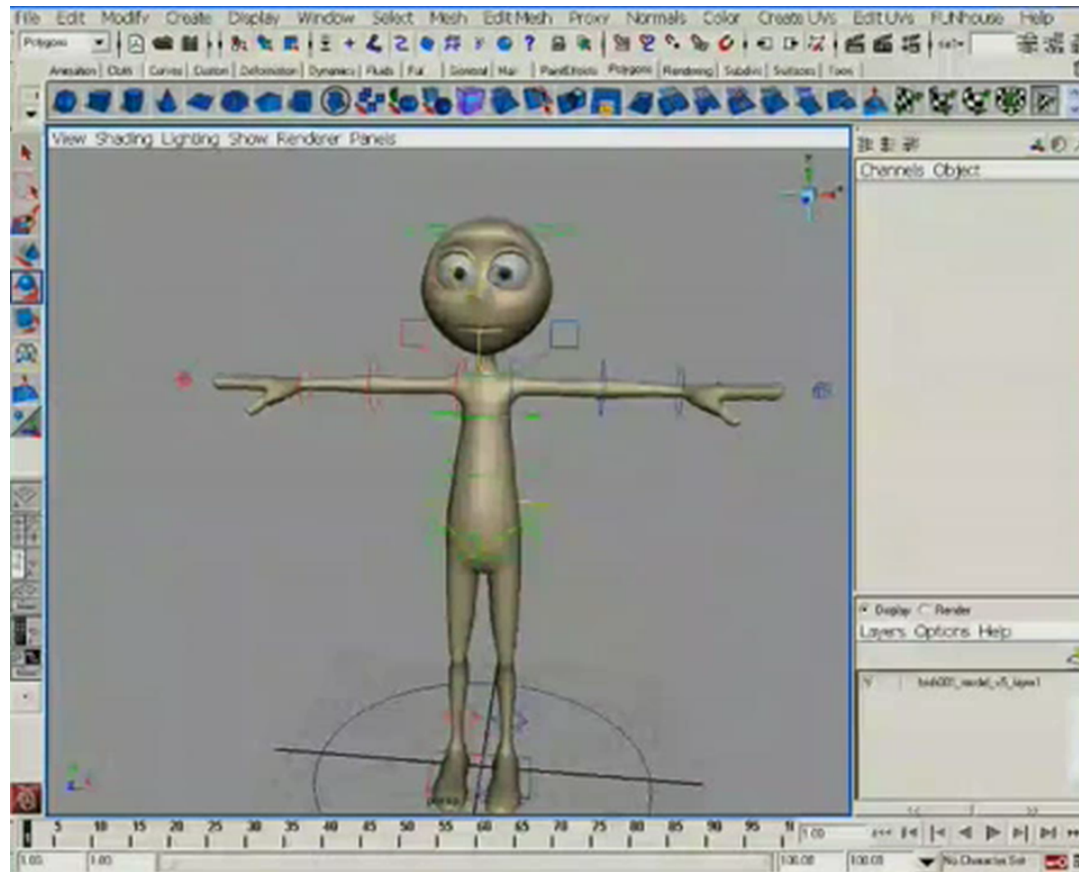
$$R(r, p, y) = R_z(y)R_x(p)R_y(r)$$

- Bezeichnung oft:  
*roll, pitch, yaw* (Schiff)  
*roll, pitch, heading* (Flugzeug)



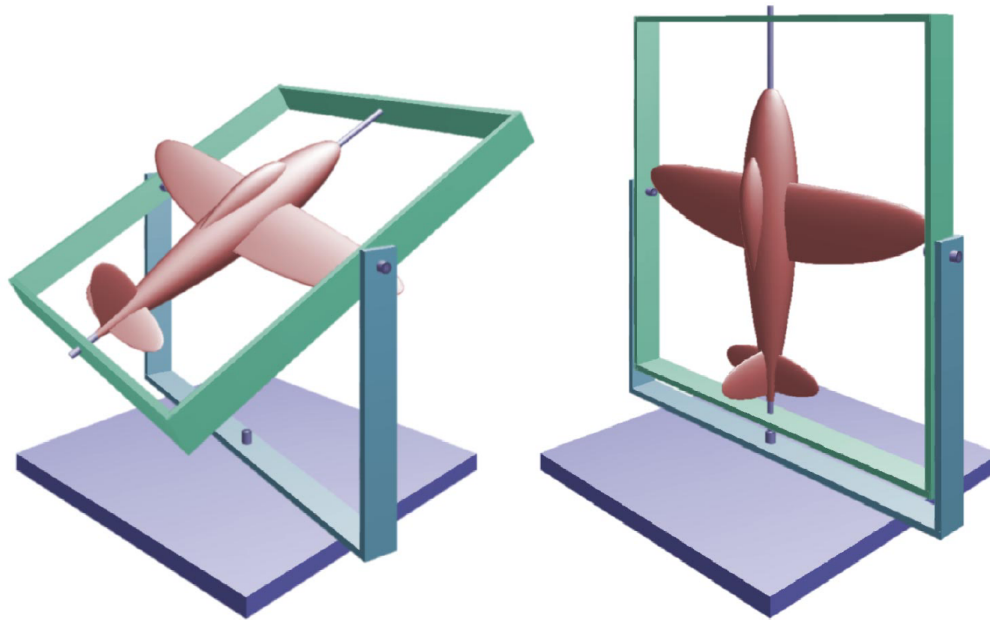
- Erscheint zunächst sehr natürlich (3 DOFs → 3 Winkel)
- Achtung: die Spezifikation einer Rotation mittels Euler-Winkeln macht viele Probleme!!!!!!!!!!
  - Reihenfolge der Rotationen ist nicht festgelegt!
    - Oft "*roll, pitch, yaw*" — aber Zuordnung zu den Achsen nicht definiert!
    - Manchmal auch: *z, x, z* ! Oder ...
  - Gimbal Lock
  - Werte-Bereiche: für einen der Winkel ist der Bereich nur  $[-90, +90]$ 
    - Das kann auch gar nicht anders sein
  - Rechnen (z.B. interpolieren oder mitteln) ist **unmöglich**

- Beispiel für die unerwünschten Effekte bei Interpolation von Euler-Winkeln:



# Der *Gimbal Lock*

- Tritt immer dann ein, wenn 2 Achsen (fast) gleich sind
- Folge: immer noch 3 Parameter, aber nur **2 Freiheitsgrade!**
  - Die Abbildung von Orientierung  $\rightarrow$  Euler-Winkel ist nicht mehr eindeutig
  - Rotation um eine der (lokalen) Flugzeugachsen geht nicht mehr!



# Euler Angles in the Real World

- In den Apollo-Raketen wurde ein Kreiselkompass (Trägheitsmessgerät) verwendet
- Kleine Anekdote dazu:

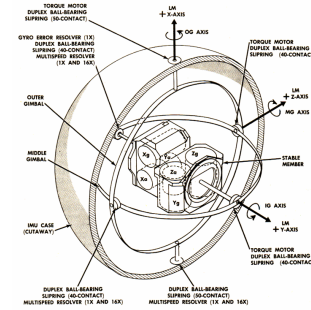


Figure 2.1-24. IMU Gimbal Assembly

About two hours after the Apollo 11 landing, Command Module Pilot Mike Collins had the following conversation with CapCom Owen Garriott:

**104:59:35 Garriott:** Columbia, Houston. We noticed you are maneuvering very close to **gimbal lock**. I suggest you move back away. Over.

**104:59:43 Collins:** Yeah. I am going around it, doing a CMC Auto maneuver to the Pad values of roll 270, pitch 101, yaw 45.

**104:59:52 Garriott:** Roger, Columbia. (Long Pause)

**105:00:30 Collins:** (Faint, joking) How about sending me a fourth gimbal for Christmas.



- Um Gimbal-Lock zu vermeiden, wurde tatsächlich ein 4-ter Gimbal eingeführt!

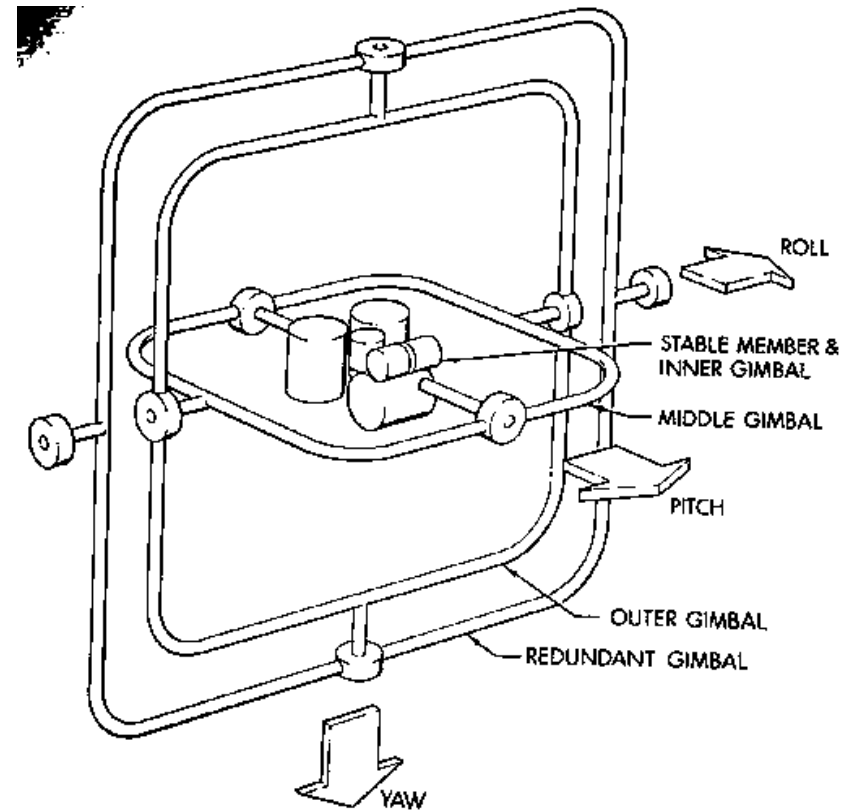
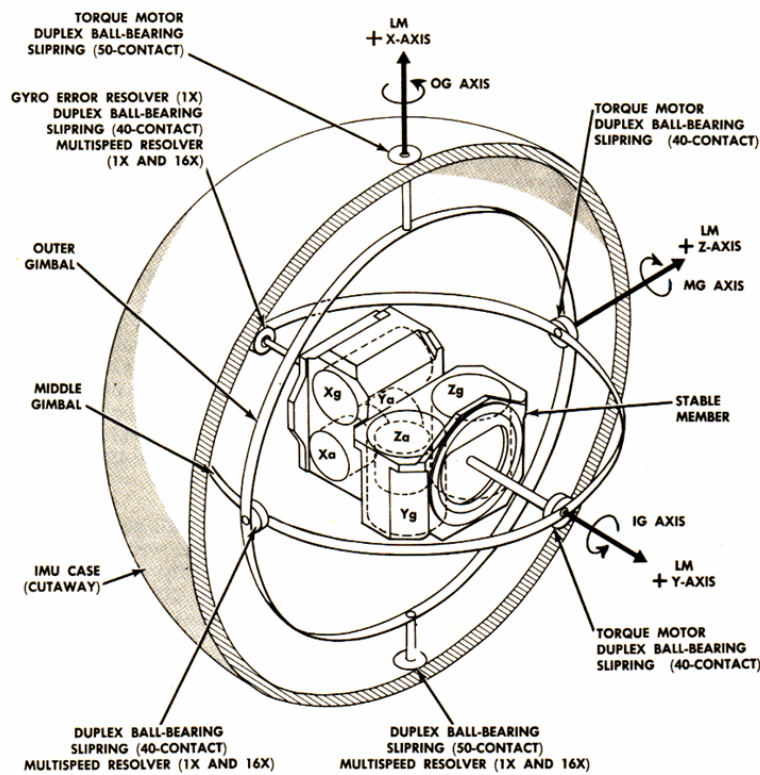
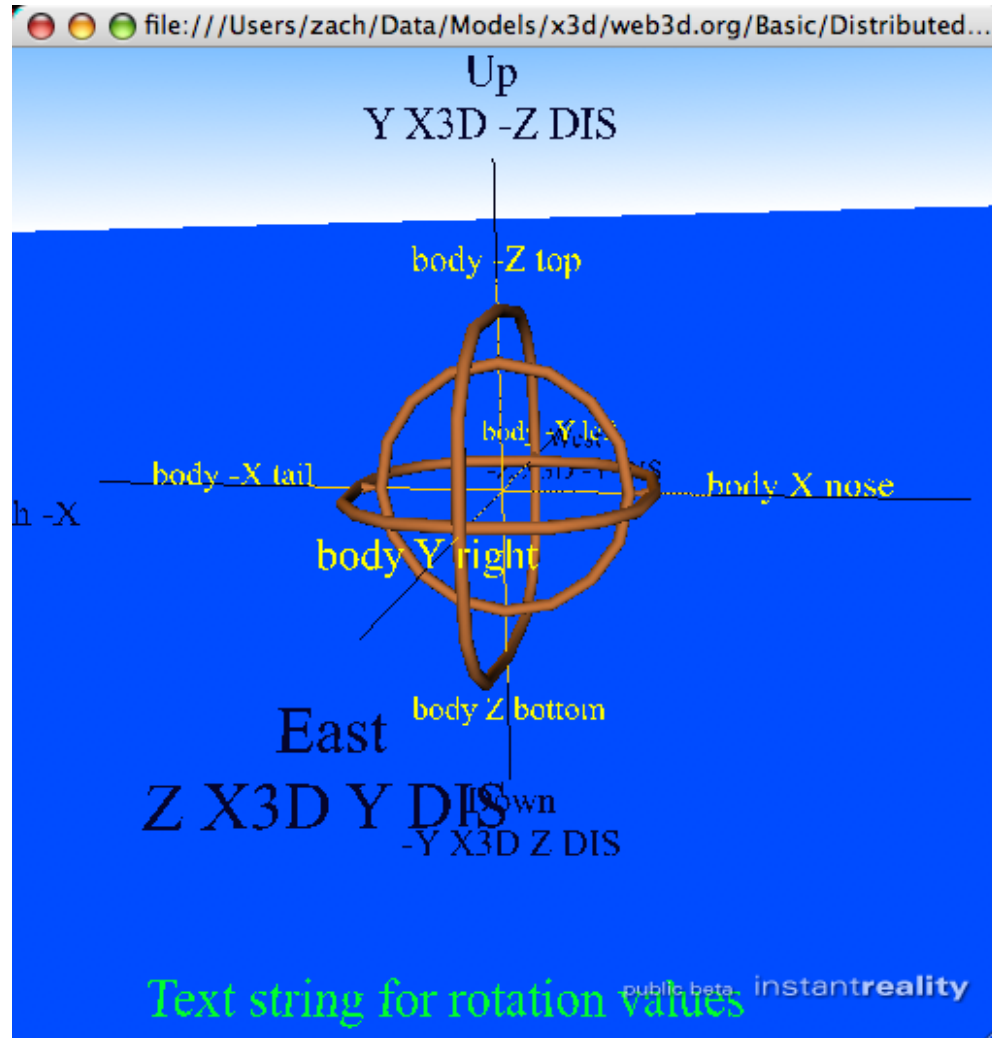


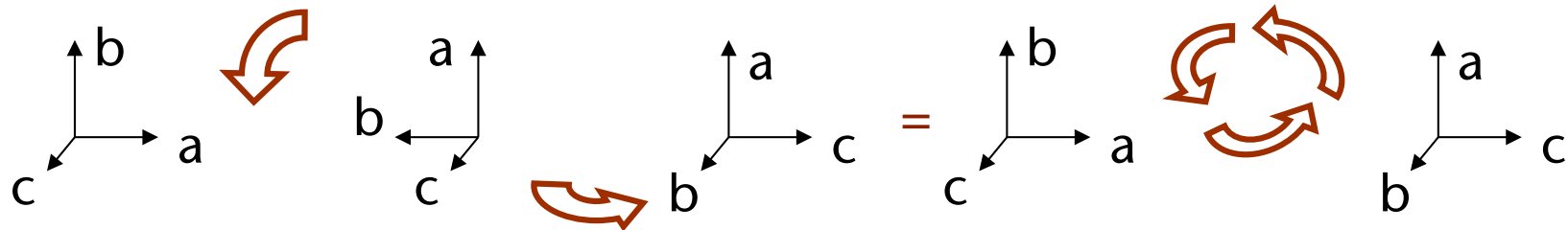
Figure 2.1-24. IMU Gimbal Assembly

Quelle: <http://www.hq.nasa.gov/office/pao/History/alsj/gimbals.html>

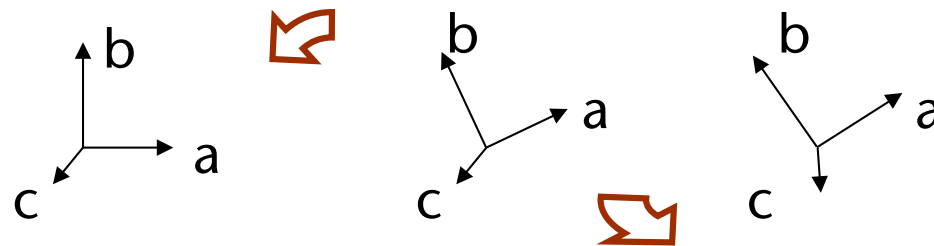


[Gimbals.wrl](#)

- Weiteres Problem: Interpolation zwischen zwei Rotationen (Orientierungen) mittels Euler-Winkel klappt nicht
- Beispiel:
  - Rotation von  $90^\circ$  um Z, dann  $90^\circ$  um Y =  $120^\circ$  um  $(1, 1, 1)$



- Aber: Rotation von  $30^\circ$  um Z, dann  $30^\circ$  um Y  $\neq$   $40^\circ$  um  $(1, 1, 1)$  !



- Ein Film, in dem viele Interpolationen von Rotationen / Orientierungen vorkommen

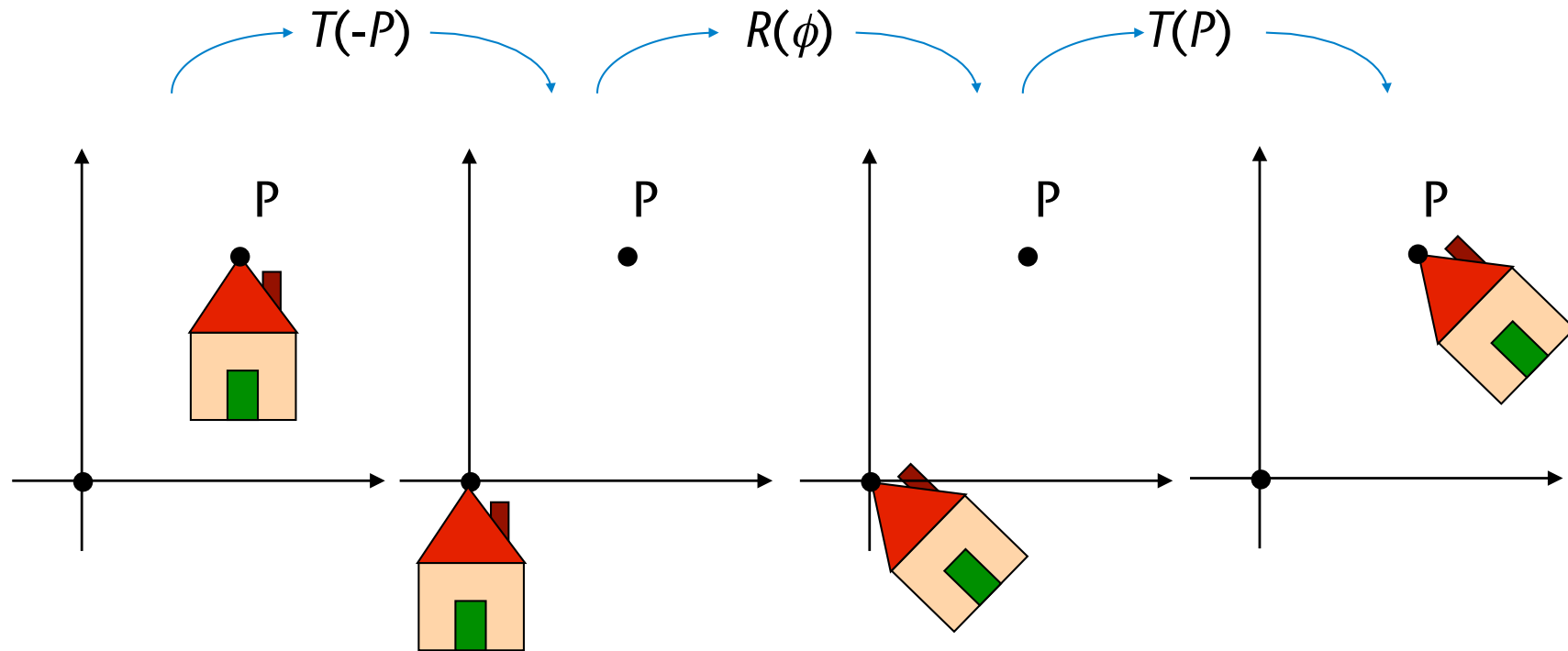
George Francis, Louis Kauffman, Dan Sandin, Chris Hartman, John Hart

*Air on the  
Dirac Strings*

<http://www.evl.uic.edu/hypercomplex/>

# Rotation um einen beliebigen Punkt in 2D

- Gesucht: Rotation mit Winkel  $\phi$  um  $P$



$$M = T_P R_\theta T_{-P}$$

# Rotation um eine beliebige Achse in 3D

- Gesucht: Rotationsmatrix zu gegebener Achse  $\mathbf{r}$  (oBdA geht  $\mathbf{r}$  durch den Ursprung)
- 1. Erzeuge neue Basis  $(\mathbf{r}, \mathbf{s}, \mathbf{t})$  (bestimme  $\mathbf{s}$  und  $\mathbf{t}$ , orthogonal zu  $\mathbf{r}$ ; siehe Kapitel "Kurze Wiederholung in Geometrie")
- 2. Transformiere alles, so daß die Basis  $(\mathbf{r}, \mathbf{s}, \mathbf{t})$  in die Standardbasis  $(\mathbf{x}, \mathbf{y}, \mathbf{z})$  übergeht
- 3. Rotiere mit Winkel  $\phi$  um  $\mathbf{x}$ -Achse
- 4. Transformiere zurück in die ursprüngliche Basis
- Zusammen:

$$M = BR_x(\theta)B^T \quad \text{mit} \quad B = \begin{pmatrix} | & | & | \\ \mathbf{r} & \mathbf{s} & \mathbf{t} \\ | & | & | \end{pmatrix}$$

# Zusammenhang zwischen Rotation und Basiswechsel

- Man kann eine Rotationsmatrix direkt aus den 3 Koordinatenachsen eines (neuen) Koordinatensystems konstruieren
- Gegeben: Einheitsvektoren  $\mathbf{u}$ ,  $\mathbf{v}$ ,  $\mathbf{w}$

- Setze:

$$R = \begin{pmatrix} | & | & | \\ \mathbf{u} & \mathbf{v} & \mathbf{w} \\ | & | & | \end{pmatrix}$$

- Damit ist

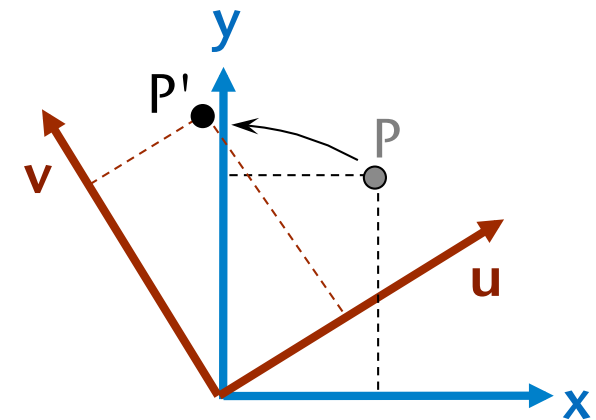
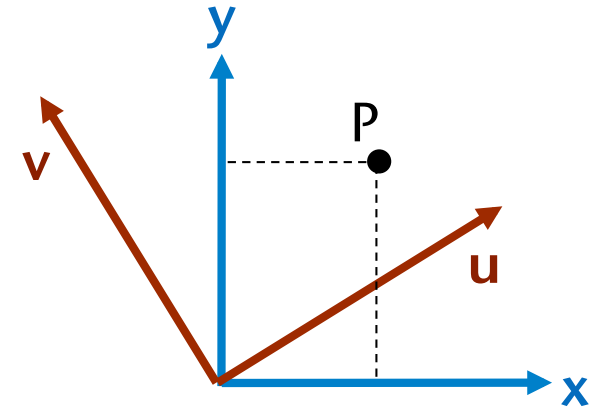
$$R \cdot \mathbf{e}_x = \mathbf{u}, \quad R \cdot \mathbf{e}_y = \mathbf{v}, \quad R \cdot \mathbf{e}_z = \mathbf{w}$$

$$R \cdot R^T = I$$

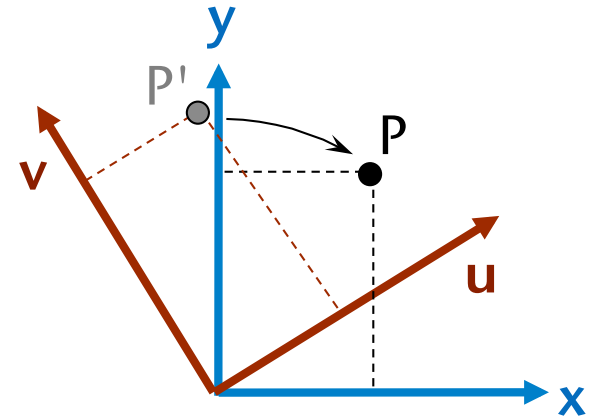
$$\det(R) = 1$$

- Also:  $R$  ist Rotation

- Und zwar von  $xyz$ -Koordinaten  $\rightarrow$   $uvw$ -Koordinaten



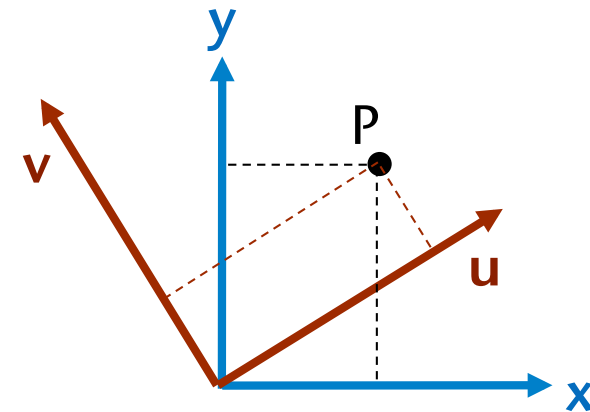
- Was bedeutet die Matrix  $R^{-1}$  ?
- Rotation von  $uvw \rightarrow xyz$  (klar)



- Aber außerdem:

$$\mathbf{p}' = R^{-1} \cdot P = R^T \cdot \mathbf{p} = \begin{pmatrix} - & \mathbf{u} & - \\ - & \mathbf{v} & - \\ - & \mathbf{w} & - \end{pmatrix} \mathbf{p} = \begin{pmatrix} \mathbf{u} \cdot \mathbf{p} \\ \mathbf{v} \cdot \mathbf{p} \\ \mathbf{w} \cdot \mathbf{p} \end{pmatrix}$$

- $\mathbf{p}'$  stellt den selben Punkt P im Raum dar wie  $\mathbf{p}$ !
- $\mathbf{p}'$  stellt ihn in  $uvw$ -Koordinaten dar,
- $\mathbf{p}$  stellt ihn in  $xyz$ -Koordinaten!





# Zerlegung einer Rotationsmatrix

- Gegeben: Rotationsmatrix  $R$

1. Aufgabe: den Rotationswinkel  $\theta$  bestimmen

- Lösung:

$$1 + 2 \cos \theta = \text{spur}(R)$$

- Beweis:

- Zu  $R$  gibt es eine Basiswechselmatrix  $U$ , so daß

$$URU^{-1} = R_x(\theta) = \begin{pmatrix} 1 & 0 & 0 \\ 0 & \cos \theta & -\sin \theta \\ 0 & \sin \theta & \cos \theta \end{pmatrix}$$

- Es gilt:

$$\text{spur}(R) = \text{spur}(URU^{-1}) = \text{spur}(R_x(\theta)) = 1 + 2 \cos \theta$$

↑  
Spezielle Eigenschaft der Spur

## 2. Aufgabe: Rotationsachse $\mathbf{r}$ bestimmen

- Lösung:  $\mathbf{r}$  ist der Eigenvektor zum Eigenwert 1 der Matrix  $R$
- Beweis: alle Vektoren auf der Rotationsachse bleiben fest, d.h.

$$R\mathbf{r} = 1 \cdot \mathbf{r}$$

- Berechnung der Eigenvektoren einer 3x3-Matrix:
  - Zur Erinnerung: zu jeder Matrix  $A$  gibt es eine adjungierte Matrix  $A^\#$
  - Die Elemente  $a_{ij}^\#$  der **adjungierten Matrix** sind definiert als

$$a_{ij}^\# = (-1)^{i+j} \det \begin{pmatrix} a_{11} & \cdots & a_{1i} & \cdots \\ \cdots & & & \\ a_{j1} & \cdots & a_{ji} & \cdots \\ \cdots & & & \end{pmatrix}$$

- Es gilt:  $AA^\# = \det(A)I$

- Falls  $\det(A) = 0$ , dann ist

$$AA^\# = 0 \cdot I = 0$$

- Also gilt für jeden Spaltenvektor  $\mathbf{v}$  aus  $A^\#$ , daß

$$A \cdot \mathbf{v} = 0$$

- Gesucht ist der Eigenvektor  $\mathbf{r}$  zum Eigenwert 1 von  $R$ , also ein  $\mathbf{r}$ , so daß

$$(R - I) \cdot \mathbf{r} = 0$$

- Das sind gerade die Spalten von

$$(R - I)^\#$$

- Alle Spalten sind Vielfache einer der Spalten

- Bemerkung: das funktioniert auch für größere Matrizen, ist aber nicht mehr effizient

# Darstellung der Rotation als Achse & Winkel

- Damit haben wir folgenden wichtigen Satz bewiesen ...
- Satz (Euler):  
Jede beliebige Rotation im Raum lässt sich als Rotation um eine bestimmte Achse mit einem bestimmten Winkel darstellen.
- Anmerkung: in der Robotik wird gerne die Variante verwendet, wo

$$\text{Winkel} = \|\text{Rotationsachse}\|$$

(damit benötigt man also wieder nur einen 3D-Vektor)

$$e^{i\theta} = \cos \theta + i \sin \theta$$

$$v = r e^{i\varphi} = r \cos \varphi + r i \sin \varphi$$

$$e^{i\theta} v = r e^{i\theta} e^{i\varphi} = r e^{i(\theta+\varphi)} = r \cos(\theta + \varphi) + r i \sin(\theta + \varphi)$$

- Wir können reelle Zahlen einfach invertieren:

$$x \cdot x^{-1} = 1$$

- Auch für komplexe Zahlen können wir ein Inverses finden:

$$\frac{z \cdot z^*}{|z|^2} = 1$$

- Gibt es etwas Analoges auch in "höheren Dimensionen"?
  - Z.B. eine "dreidimensionale" Verallgemeinerung von  $\mathbb{C}$ ? → **Nein!**
  - Aber: im 4D klappt es wieder ... (fast)

- Erweiterung der komplexen Zahlen (geht leider nicht kommutativ):

$$\mathbb{H} = \{ q \mid q = w + a \cdot \mathbf{i} + b \cdot \mathbf{j} + c \cdot \mathbf{k}, w, a, b, c \in \mathbb{R} \}$$

- Alternative Schreibweise:

$$q = (w, \mathbf{v})$$

- Axiome für die 3 **imaginären Einheiten**:

$$\mathbf{i}^2 = \mathbf{j}^2 = \mathbf{k}^2 = \mathbf{ijk} = -1$$

$$(\mathbf{ij})\mathbf{k} = \mathbf{i}(\mathbf{jk})$$

- Daraus folgen sofort diese Rechengesetze:

$$\mathbf{ij} = -\mathbf{ji} = \mathbf{k}$$

$$\mathbf{jk} = -\mathbf{kj} = \mathbf{i}$$

$$\mathbf{ki} = -\mathbf{ik} = \mathbf{j}$$

# Eine Algebra über den Quaternionen

- Addition:  $q_1 + q_2 = (w_1 + w_2) + (a_1 + a_2)\mathbf{i} + (b_1 + b_2)\mathbf{j} + (c_1 + c_2)\mathbf{k}$

- Skalierung:  $s \cdot q = (sw) + (sa)\mathbf{i} + (sb)\mathbf{j} + (sc)\mathbf{k}$

- Multiplikation:

$$\begin{aligned}
 q_1 \cdot q_2 &= (w_1 + a_1\mathbf{i} + b_1\mathbf{j} + c_1\mathbf{k}) \cdot (w_2 + a_2\mathbf{i} + b_2\mathbf{j} + c_2\mathbf{k}) \\
 &= (w_1w_2 - a_1a_2 - b_1b_2 - c_1c_2) + \\
 &\quad (w_1a_2 + w_2a_1 + b_1c_2 - c_1b_2)\mathbf{i} + \\
 &\quad (\dots \dots)\mathbf{j} + \\
 &\quad (\dots \dots)\mathbf{k}
 \end{aligned}$$

- Konjugation:  $q^* = w - a\mathbf{i} - b\mathbf{j} - c\mathbf{k}$

- Betrag (Norm):  $|q|^2 = w^2 + a^2 + b^2 + c^2 = q \cdot q^*$

- Inverse eines Einheitsquaternions:  $|q| = 1 \Rightarrow q^{-1} = q^*$



- Behauptung (o. Bew.):  
 $\mathbb{H}$  mit der Multiplikation ist eine nicht-kommutative Gruppe.

# Einbettung des 3D-Vektorraumes in $\mathbb{H}$

- Den Vektorraum  $\mathbb{R}^3$  kann man in  $\mathbb{H}$  so einbetten:

$$\mathbf{v} \in \mathbb{R}^3 \mapsto q_{\mathbf{v}} = (0, \mathbf{v}) \in \mathbb{H}$$

- Definition:

Quaternionen der Form  $(0, \mathbf{v})$  heißen **reine Quaternionen** (*pure quaternions*)

# Darstellung von Rotationen mittels Quaternionen

- Gegeben sei Axis & Angle  $(\varphi, \mathbf{r})$  mit  $\|\mathbf{r}\| = 1$
- Definiere das dazu gehörige Quaternion als

$$q = \left( \cos \frac{\varphi}{2}, \sin \frac{\varphi}{2} \mathbf{r} \right) = \left( \cos \frac{\varphi}{2}, \sin \frac{\varphi}{2} r_x, \sin \frac{\varphi}{2} r_y, \sin \frac{\varphi}{2} r_z \right)$$

- Beobachtung:  $|q| = 1$
- Zurückrechnen:

$$q = (w, a, b, c) \text{ ist gegeben, mit } |q| = 1$$

Dann ist

$$\varphi = 2 \arccos(w)$$

$$\mathbf{r} = \frac{1}{\sin \frac{\varphi}{2}} \begin{pmatrix} a \\ b \\ c \end{pmatrix} = \frac{1}{\sqrt{1 - w^2}} \begin{pmatrix} a \\ b \\ c \end{pmatrix}$$

- Satz:

Jedes Einheitsquaternion kann man in der Form

$$\left( \cos \frac{\varphi}{2}, \sin \frac{\varphi}{2} \mathbf{r} \right)$$

darstellen.

- Beweis: siehe vorige Folie

- Theorem: **Rotation mittels eines Quaternions**

Sei  $\mathbf{v} \in \mathbb{H}$  ein pures Quaternion und  $q \in \mathbb{H}$  ein Einheitsquaternion. Dann beschreibt die Abbildung

$$\mathbf{v} \mapsto q \cdot \mathbf{v} \cdot q^* = \mathbf{v}'$$

eine (rechtshändige) Rotation von  $\mathbf{v}$ , wobei Winkel und Achse durch  $q$  bestimmt sind.

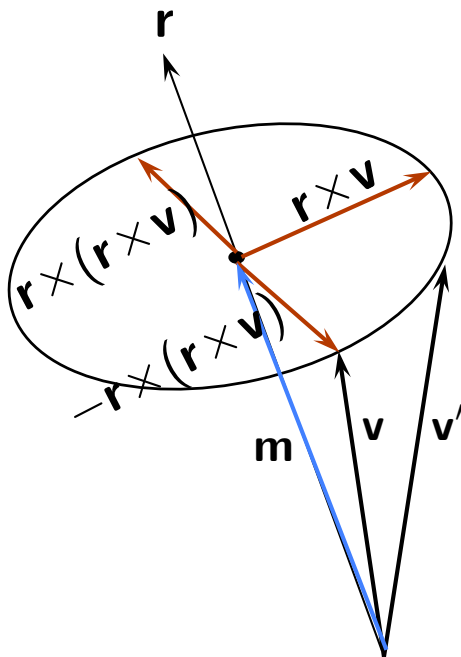
■ Beweisskizze:

$$q\mathbf{v}q^* = (c, s\mathbf{r}) \cdot (0, \mathbf{v}) \cdot (c, -s\mathbf{r}) \quad \text{mit} \quad c = \cos \frac{\varphi}{2}, s = \sin \frac{\varphi}{2}$$

$$= \dots \quad (*)$$

$$= ( 0, \underbrace{\mathbf{v} + \sin \varphi \cdot \mathbf{r} \times \mathbf{v} + (1 - \cos \varphi) \cdot \mathbf{r} \times (\mathbf{r} \times \mathbf{v})}_{\parallel}$$

$$\underbrace{\mathbf{v} + \mathbf{r} \times (\mathbf{r} \times \mathbf{v})}_{\mathbf{m}} + \sin \varphi \cdot \mathbf{r} \times \mathbf{v} + \cos \varphi \cdot (-\mathbf{r} \times (\mathbf{r} \times \mathbf{v})) = \mathbf{v}'$$



\*) Zwischendurch benötigt man diese trigonometrischen Identitäten:

$$\sin \varphi = 2 \sin \frac{\varphi}{2} \cos \frac{\varphi}{2} \quad 1 - \cos \varphi = 2 \sin^2 \frac{\varphi}{2}$$

- Bemerkung: die so definierte Rotationsabbildung ist mit der Quaternionen-Multiplikation verträglich, d.h., dass

$$R_{q_1}(R_{q_2}(\mathbf{v})) = R_{q_1 \cdot q_2}(\mathbf{v})$$

# Lineare Interpolation von Quaternionen

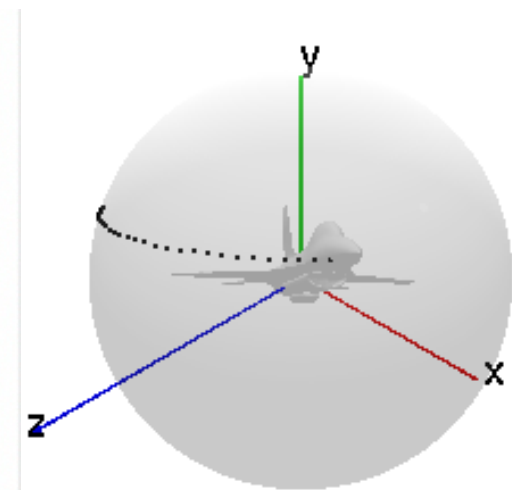
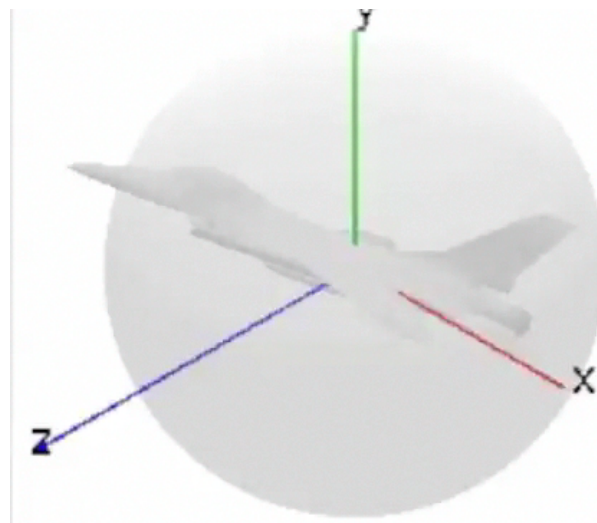
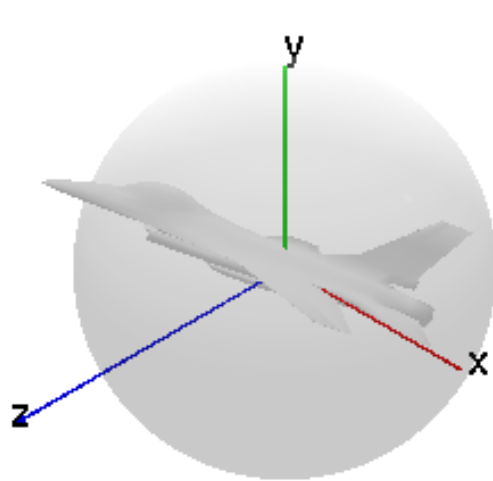
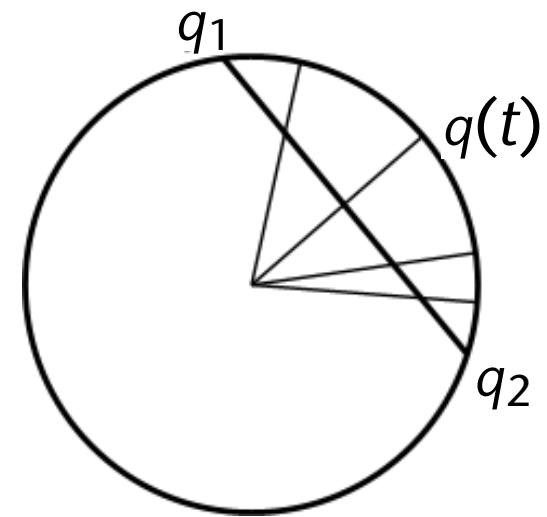
- Gegeben: zwei Orientierungen  $q_1$  ,  $q_2$   
(Orientierung = Rotation aus der Null-Lage)
- Aufgabe: dazwischen interpolieren

- Einfachste Lösung:

$$q(t) = \text{lerp}(t; q_1, q_2) = (1 - t)q_1 + tq_2$$

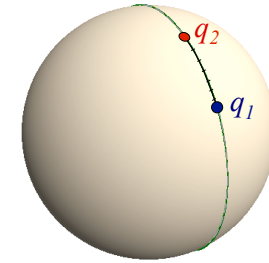
- Wichtig:  $q(t)$  hinterher immer **normieren!**
- Vorteil: **Kein Gimbal Lock!**

- Nachteil (noch): keine konstante Winkelgeschwindigkeit
- Problem: Geschwindigkeit an den "Enden" der Interpolation ist langsamer als in der "Mitte"





# Sphärische lineare Interpolation

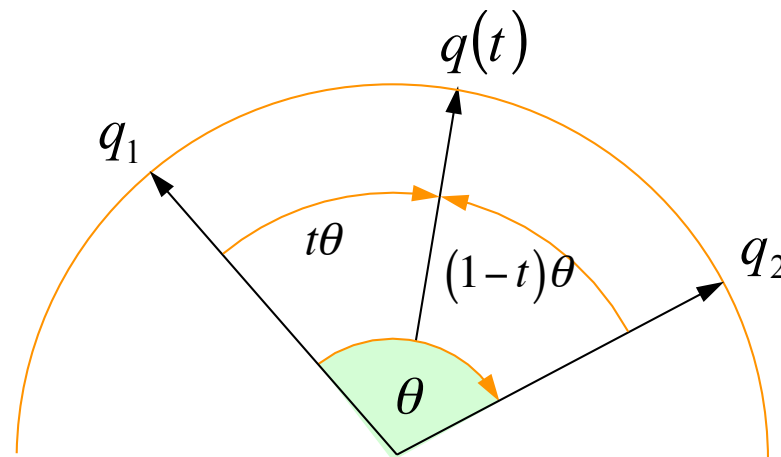


- Besser ist die **sphärische lineare Interpolation "slerp"**:

$$q(t) = \text{slerp}(t; q_1, q_2) = \frac{\sin((1-t)\theta)}{\sin \theta} q_1 + \frac{\sin(t\theta)}{\sin \theta} q_2$$

mit  $\cos \theta = q_1 \odot q_2$       Skalarprodukt der *Vektoren*  $q_1$  und  $q_2$

- Hier gilt:



Interpolation  
of Euler angles



Naïve  
interpolation  
of  
matrices

*Slerp* of  
quaternions



*Lerp* of  
quaternions  
(with  
normalization)

Gianluca Vatinno, Trinity College Dublin

# Umwandlung Quaternion $\rightarrow$ Rot.matrix

- Zunächst das Analogon im 2D:  
wenn  $a, b$ , mit  $a^2 + b^2 = 1$ , gegeben sind, dann ist

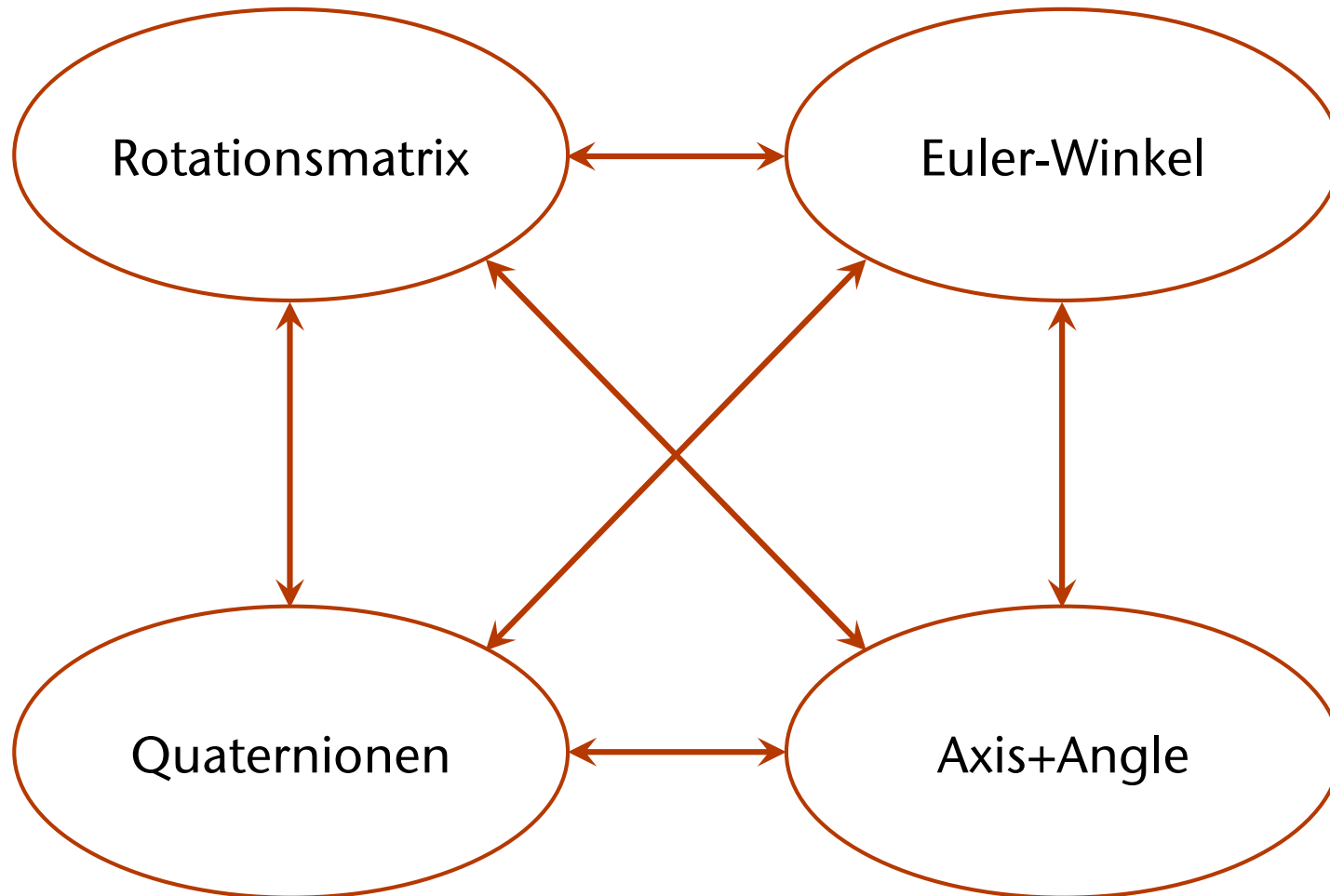
$$M = \begin{pmatrix} a^2 - b^2 & -2ab \\ 2ab & a^2 - b^2 \end{pmatrix}$$

eine Rotationsmatrix.

- So ähnlich kann man eine Rotationsmatrix im 3D aus einem Quaternion  $q = w + ai + bj + ck$ , mit  $|q| = 1$ , bilden:

$$R(q) = \begin{pmatrix} w^2 + a^2 - b^2 - c^2 & 2ab - 2wc & 2ac - 2wb \\ -2ab + 2wc & w^2 - a^2 + b^2 - c^2 & 2bc - 2wa \\ -2ac + 2wb & -2bc + 2wa & w^2 - b^2 - c^2 + d^2 \end{pmatrix}$$

- Überprüfung:
  - Spalte  $i \times$  Spalte  $j = 0 \Leftrightarrow i \neq j$
  - Spalte  $i \times$  Spalte  $i = (w^2 + a^2 + b^2 + c^2)^2$



Mehr Infos: siehe die Tutorials auf der Homepage der Vorlesung!

- Wie gibt man Orientierungen mit der Maus ein?
- Idee:
  - Lege Kugel um das Objekt / die Szene
  - Kugel kann um ihr Zentrum rotieren
  - Maus pickt Punkt auf Oberfläche, den man zieht
- Geg.: 2D Punkte Startpunkt =  $(x_1, y_1)$ , Endpunkt =  $(x_2, y_2)$
- Ges.: Rotationsachse  $r$
- Berechnung:



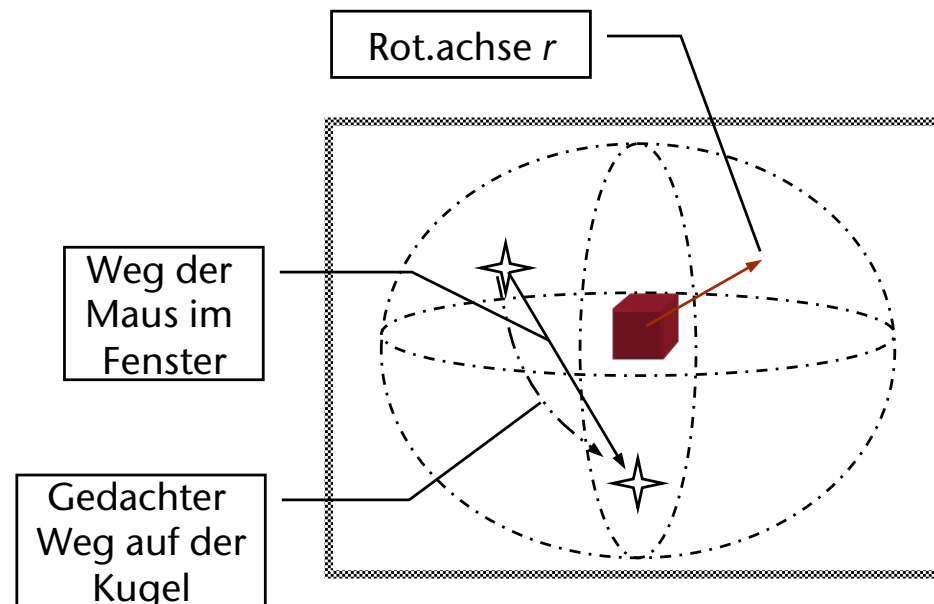
1. Bestimme 3D Punkte

$$\mathbf{p}_i = (x_i, y_i, z_i)$$

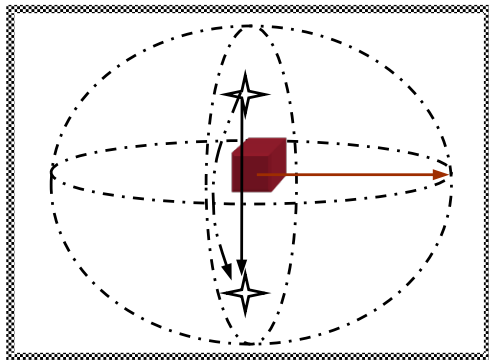
$$z_i = 1 - \sqrt{x_i^2 + y_i^2}$$

2. Rotationsachse

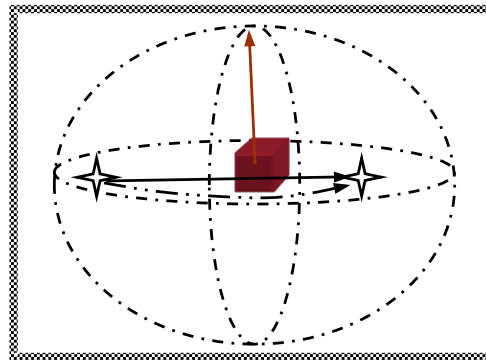
$$\mathbf{r} = \mathbf{p}_1 \times \mathbf{p}_2$$



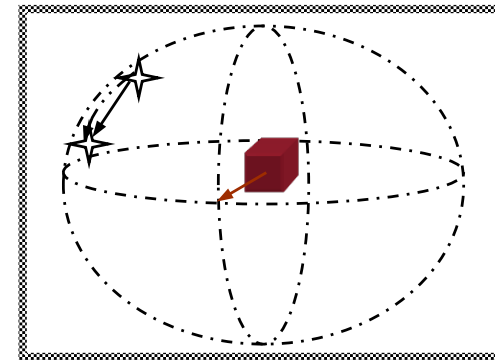
- Man kann um alle Achsen (bis auf eine) direkt rotieren:



X



Y



Z

- Verbesserungen:
  - "Spinning trackball" vermeidet häufiges Nachfassen
  - "Locking" für exaktes Rotieren um eine Koord.achse
  - Was macht man, wenn  $(x,y)$  die Ellipse verlassen?
    - Nichts(?)  $\rightarrow$  z wird negativ  $\rightarrow$  dann noch  $x,y$  am Kreis nach innen spiegeln  $\rightarrow$  p liegt auf der Rückseite der Kugel

# Lineare und affine Abbildung

- Folge aus Linearität → Geraden werden auf Geraden abgebildet
- Lineare Transformationen (z.B. Rotation, Skalierung und Scherung) können durch eine 3x3 Matrix dargestellt werden:

$$x' = A \cdot (\alpha x + \beta y) = \alpha A \cdot x + \beta A \cdot y$$

- Merke die Konvention:

"Matrix mal Vektor"

- Problem: affine Transformationen (z.B. Translation), können **nicht** alle als 3x3 Matrix dargestellt werden:

$$X' = A \cdot x + t$$

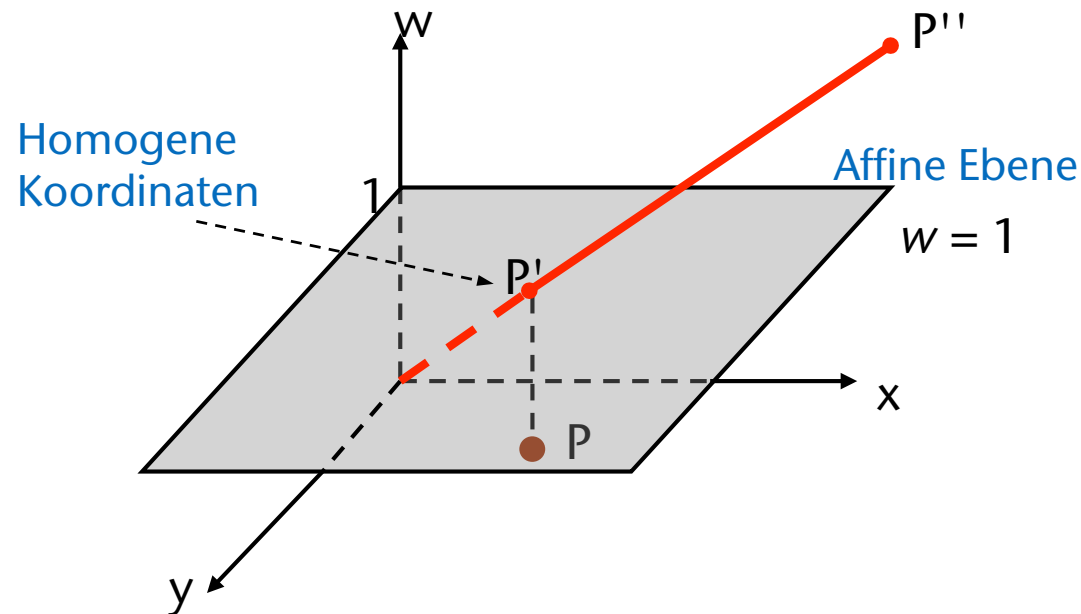
# Lösung: Homogene Koordinaten im 3D

- Homogene Darstellung ist nützlich für Transformationen von Punkten *und* Vektoren
- "Trick": erweitere 3D Punkte und Vektoren zu 4D Punkten und Vektoren
- Homogener Punkt  $P = (p_x, p_y, p_z, p_w) \quad p_w = 1$
- Homogener Vektor  $\mathbf{p} = (p_x, p_y, p_z, p_w) \quad p_w = 0$



# Veranschaulichung im 2D

- Erweitere Punkt  $P = (x, y)$  zu  $P' = (x, y, 1)$
- Assoziiere Linie  $w \cdot (x, y, 1) = (wx, wy, w)$  mit  $P'$



- M.a.W.: ein 3D-Vektor  $(x, y, w)$  beschreibt ...
  - ... den 2D-Punkt  $(x/w, y/w)$  für  $w \neq 0$
  - ... den 2D-Vektor  $(x, y)$  für  $w = 0$

- Der homogene Punkt

$$P = (x, y, z, w) \quad w \neq 0$$

beschreibt den Punkt an der Stelle

$$P = \left( \frac{x}{w}, \frac{y}{w}, \frac{z}{w} \right)$$

# Addition von Punkten und Vektoren in homogenen Koord.

- Punkt + Vektor = Punkt

$$\begin{pmatrix} p_x \\ p_y \\ p_z \\ 1 \end{pmatrix} + \begin{pmatrix} v_x \\ v_y \\ v_z \\ 0 \end{pmatrix} = \begin{pmatrix} p_x + v_x \\ p_y + v_y \\ p_z + v_z \\ 1 \end{pmatrix}$$

- Vektor + Vektor = Vektor

$$\begin{pmatrix} u_x \\ u_y \\ u_z \\ 0 \end{pmatrix} + \begin{pmatrix} v_x \\ v_y \\ v_z \\ 0 \end{pmatrix} = \begin{pmatrix} u_x + v_x \\ u_y + v_y \\ u_z + v_z \\ 0 \end{pmatrix}$$

- Punkt – Punkt = Vektor

$$\begin{pmatrix} p_x \\ p_y \\ p_z \\ 1 \end{pmatrix} - \begin{pmatrix} q_x \\ q_y \\ q_z \\ 1 \end{pmatrix} = \begin{pmatrix} p_x - q_x \\ p_y - q_y \\ p_z - q_z \\ 0 \end{pmatrix}$$

# Homogene Matrizen für Transformationen in 3D

- Matrix

$$M = \begin{pmatrix} m_{00} & m_{01} & m_{02} \\ m_{10} & m_{11} & m_{12} \\ m_{20} & m_{21} & m_{22} \end{pmatrix}$$

- Homogene Form:

$$M_{4 \times 4} = \begin{pmatrix} m_{00} & m_{01} & m_{02} & 0 \\ m_{10} & m_{11} & m_{12} & 0 \\ m_{20} & m_{21} & m_{22} & 0 \\ 0 & 0 & 0 & 1 \end{pmatrix}$$

# Lineare Abb. (Matrix-Vektor-Multiplikation)

- 3x3-Form:

$$M \cdot \mathbf{v} = \begin{pmatrix} m_{00} & m_{01} & m_{02} \\ m_{10} & m_{11} & m_{12} \\ m_{20} & m_{21} & m_{22} \end{pmatrix} \cdot \begin{pmatrix} v_x \\ v_y \\ v_z \end{pmatrix}$$

- Homogene Form:

$$M_{4 \times 4} \cdot \mathbf{v}' = \begin{pmatrix} m_{00} & m_{01} & m_{02} & 0 \\ m_{10} & m_{11} & m_{12} & 0 \\ m_{20} & m_{21} & m_{22} & 0 \\ 0 & 0 & 0 & 1 \end{pmatrix} \cdot \begin{pmatrix} v_x \\ v_y \\ v_z \\ 0 \end{pmatrix}$$

- 3x3-Form:

$$M \cdot \mathbf{p} + t = \begin{pmatrix} m_{00} & m_{01} & m_{02} \\ m_{10} & m_{11} & m_{12} \\ m_{20} & m_{21} & m_{22} \end{pmatrix} \cdot \begin{pmatrix} p_x \\ p_y \\ p_z \end{pmatrix} + \begin{pmatrix} t_x \\ t_y \\ t_z \end{pmatrix}$$

- Homogene Form:

$$M_{4 \times 4} \cdot \mathbf{p}_4 = \begin{pmatrix} m_{00} & m_{01} & m_{02} & t_x \\ m_{10} & m_{11} & m_{12} & t_y \\ m_{20} & m_{21} & m_{22} & t_z \\ 0 & 0 & 0 & 1 \end{pmatrix} \cdot \begin{pmatrix} p_x \\ p_y \\ p_z \\ 1 \end{pmatrix}$$

- In homogenen Koordinaten lassen sich sogar affine Abbildungen als einfache Matrix-Vektor-Multiplikation darstellen!

- Translation eines Punktes:

$$T_t \cdot P = \begin{pmatrix} 1 & 0 & 0 & t_x \\ 0 & 1 & 0 & t_y \\ 0 & 0 & 1 & t_z \\ 0 & 0 & 0 & 1 \end{pmatrix} \cdot \begin{pmatrix} p_x \\ p_y \\ p_z \\ 1 \end{pmatrix} = \begin{pmatrix} p_x + t_x \\ p_y + t_y \\ p_z + t_z \\ 1 \end{pmatrix}$$

- Translation eines Vektors:

$$T_t \cdot \mathbf{v} = \begin{pmatrix} 1 & 0 & 0 & t_x \\ 0 & 1 & 0 & t_y \\ 0 & 0 & 1 & t_z \\ 0 & 0 & 0 & 1 \end{pmatrix} \cdot \begin{pmatrix} v_x \\ v_y \\ v_z \\ 0 \end{pmatrix} = \begin{pmatrix} v_x \\ v_y \\ v_z \\ 0 \end{pmatrix}$$

- Inverse:

$$(T_t)^{-1} = T_{-t}$$

- Rotation:

$$R_y(\phi) = \begin{pmatrix} \cos \phi & 0 & \sin \phi & 0 \\ 0 & 1 & 0 & 0 \\ -\sin \phi & 0 & \cos \phi & 0 \\ 0 & 0 & 0 & 1 \end{pmatrix}$$

- Skalierung:

$$S(s_x, s_y, s_z) = \begin{pmatrix} s_x & 0 & 0 & 0 \\ 0 & s_y & 0 & 0 \\ 0 & 0 & s_z & 0 \\ 0 & 0 & 0 & 1 \end{pmatrix}$$

- Scherung:

$$H_{xz}(s) \cdot \mathbf{p} = \begin{pmatrix} 1 & 0 & s & 0 \\ 0 & 1 & 0 & 0 \\ 0 & 0 & 1 & 0 \\ 0 & 0 & 0 & 1 \end{pmatrix} \cdot \begin{pmatrix} p_x \\ p_y \\ p_z \\ 1 \end{pmatrix} = \begin{pmatrix} p_x + sp_z \\ p_y \\ p_z \\ 1 \end{pmatrix}$$